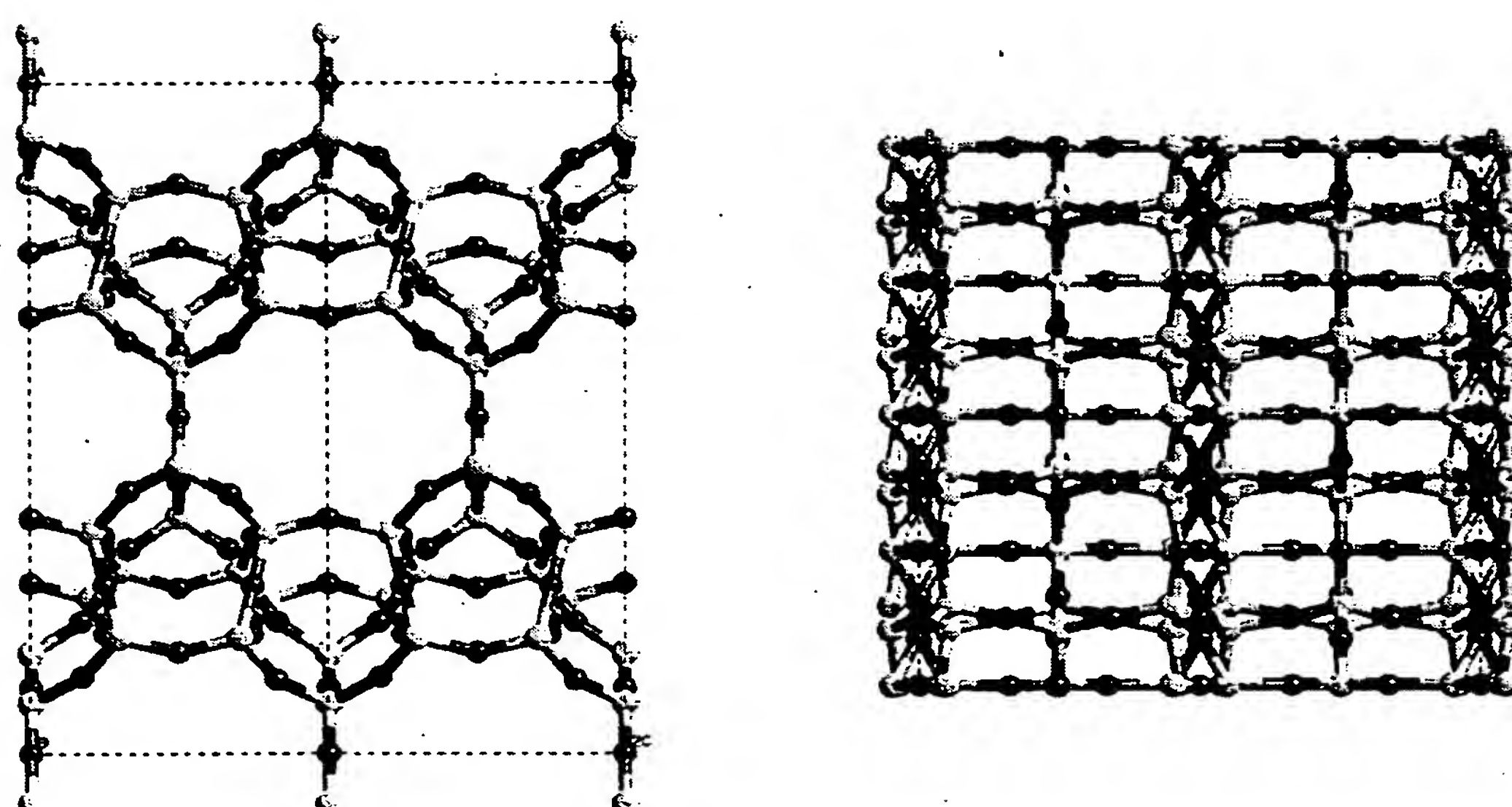
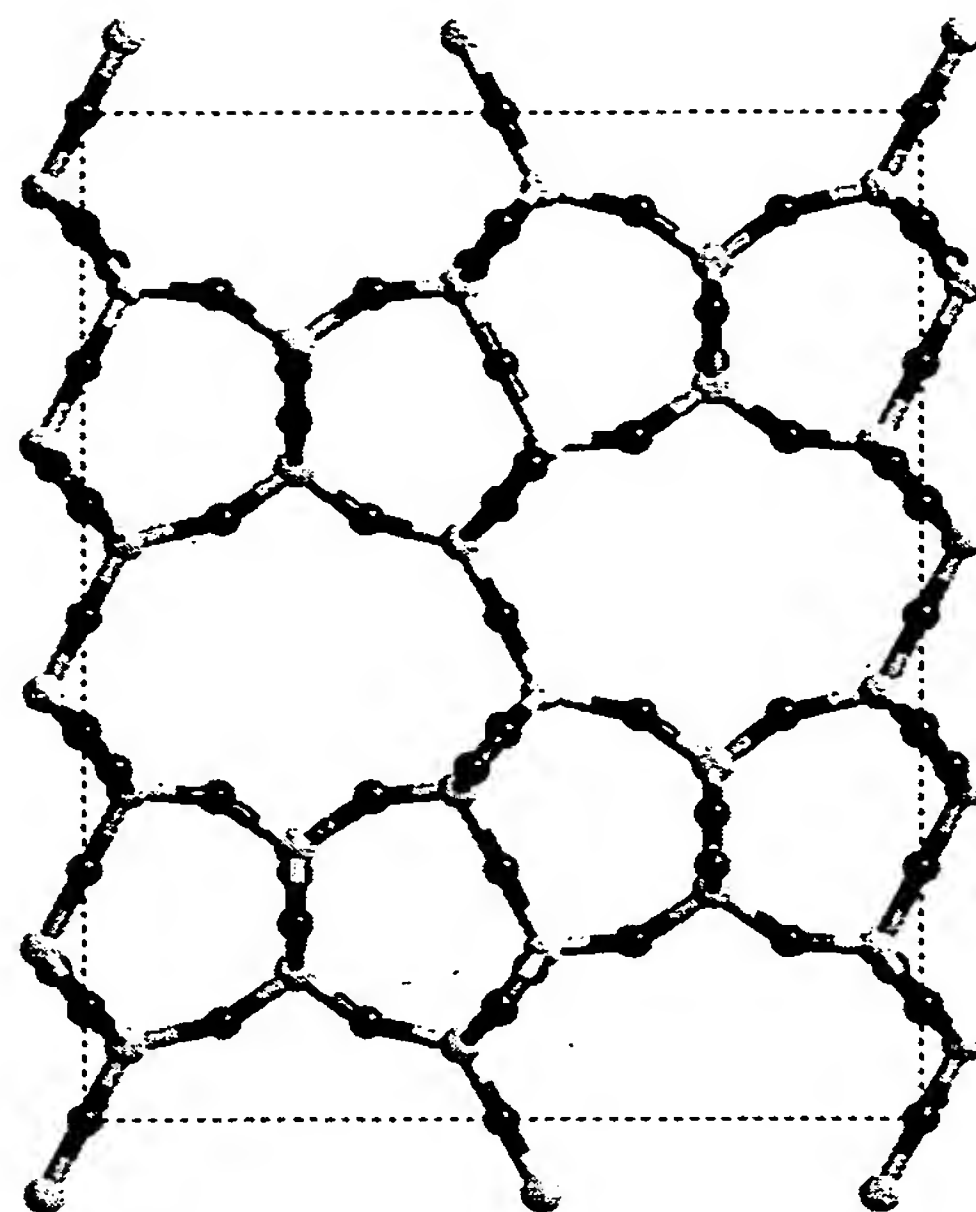
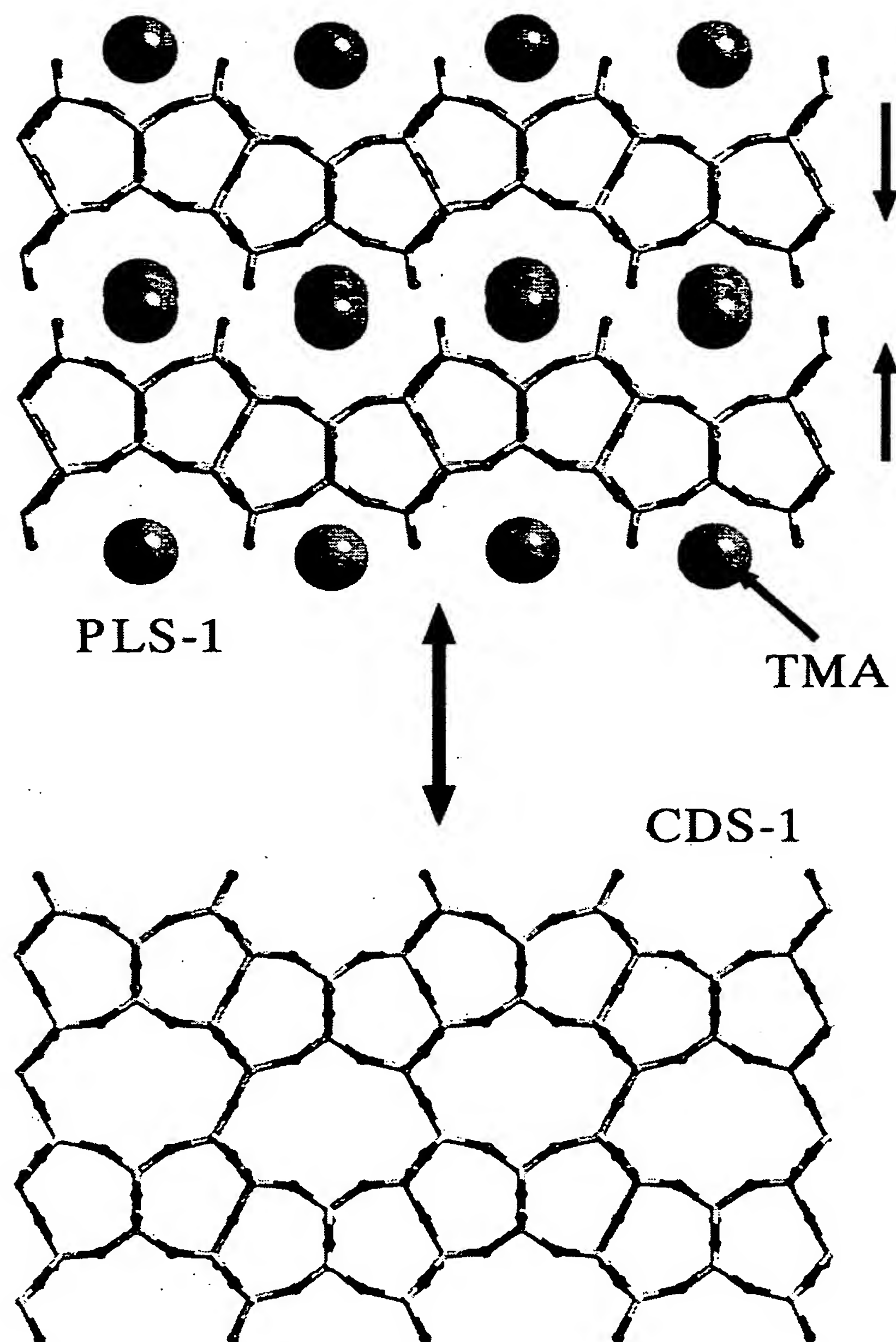


1 / 1 8



F i g . 1

2 / 1 8



F i g . 2

3 / 18

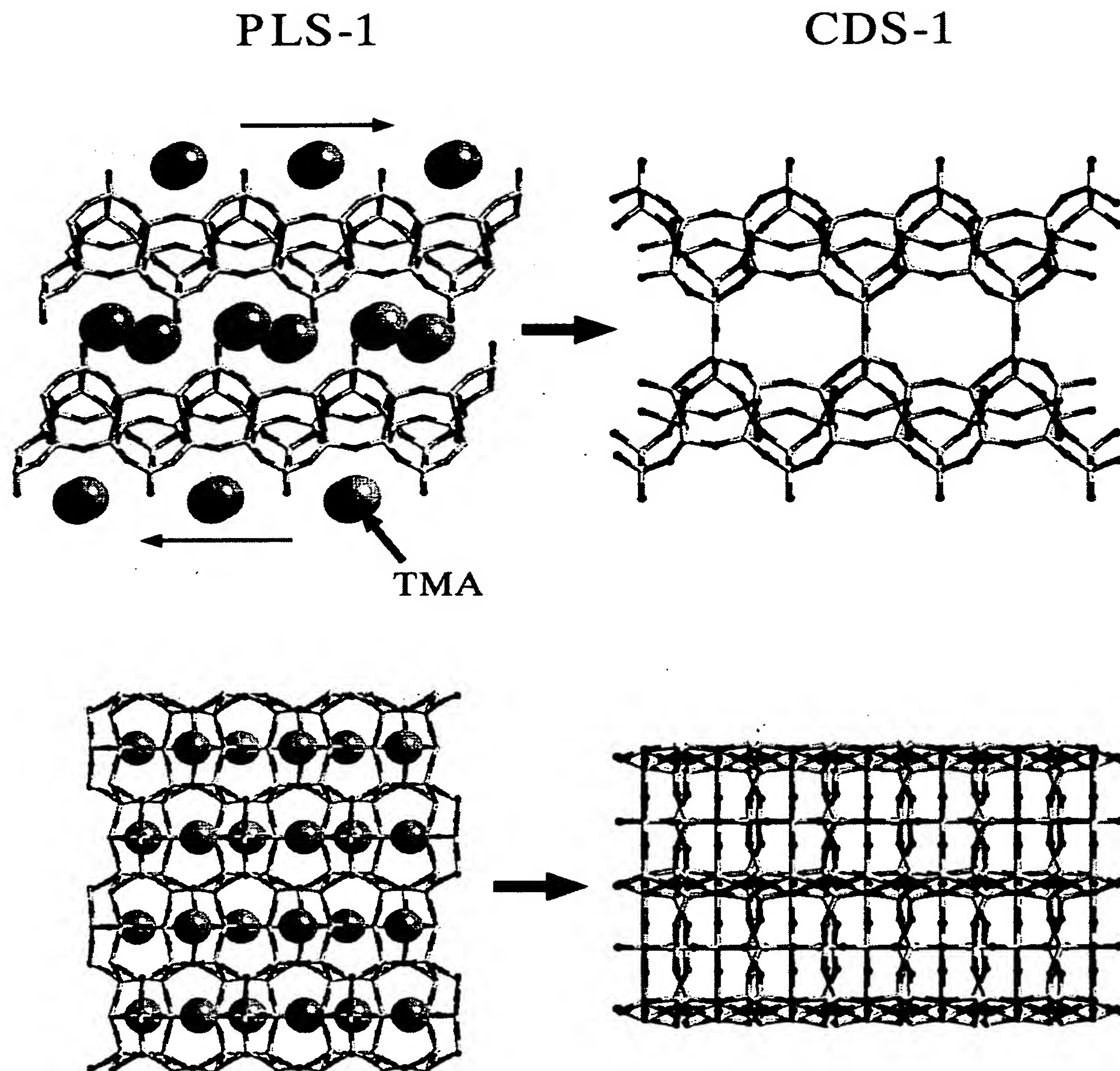
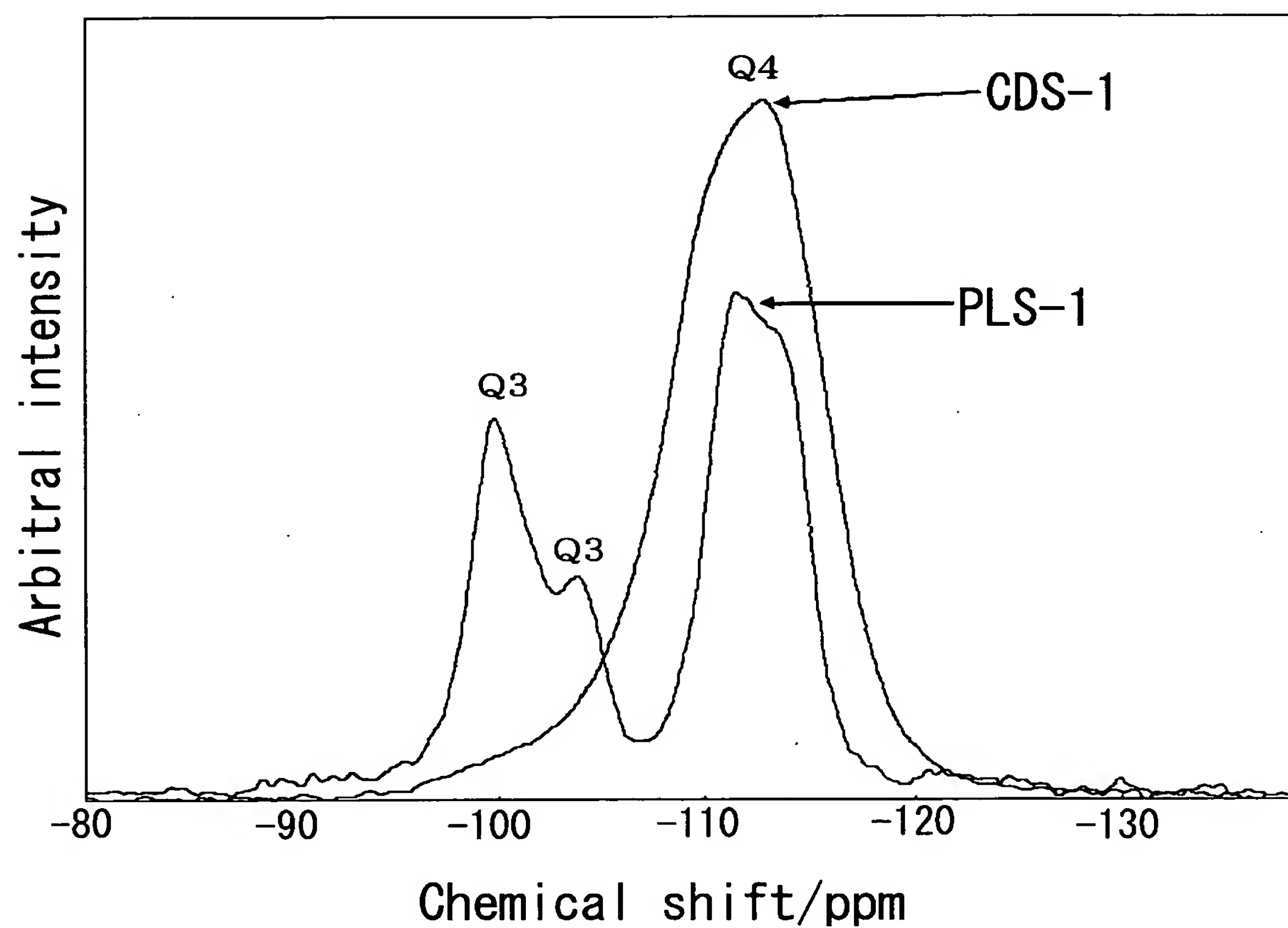


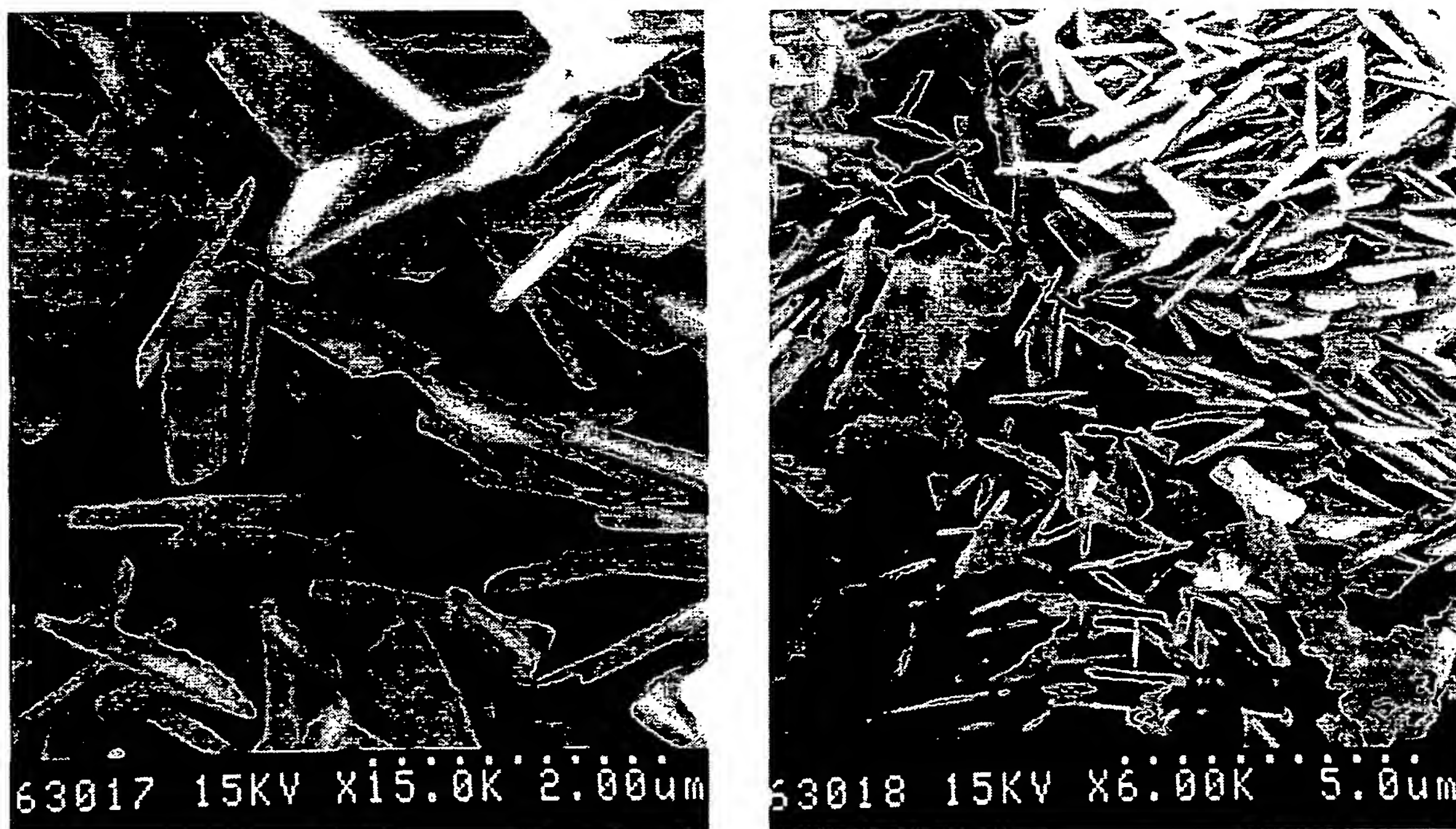
Fig. 3

4 / 1 8



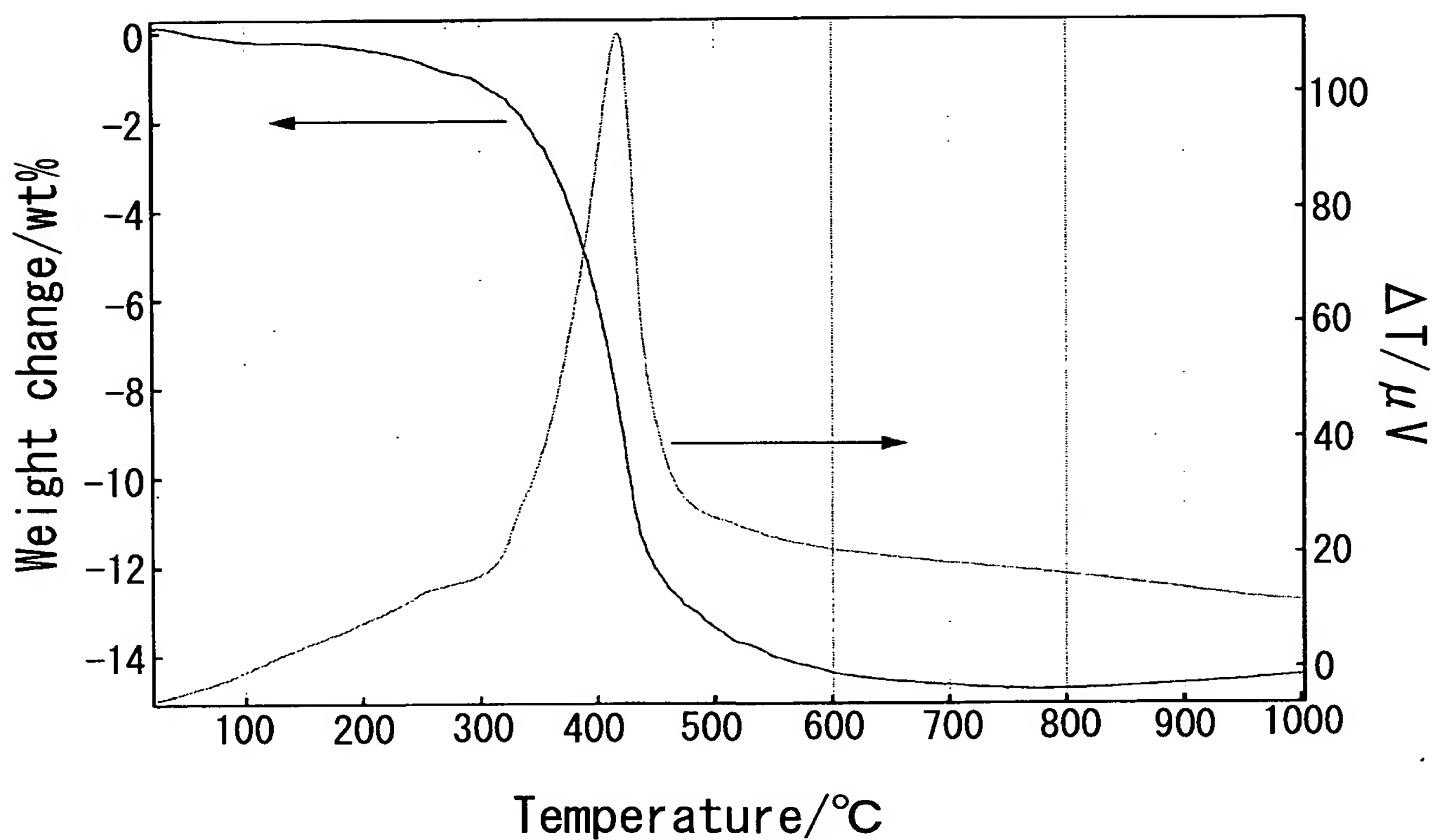
F i g . 4

5 / 1 8



F i g . 5

6 / 1 8



F i g . 6

7 / 18

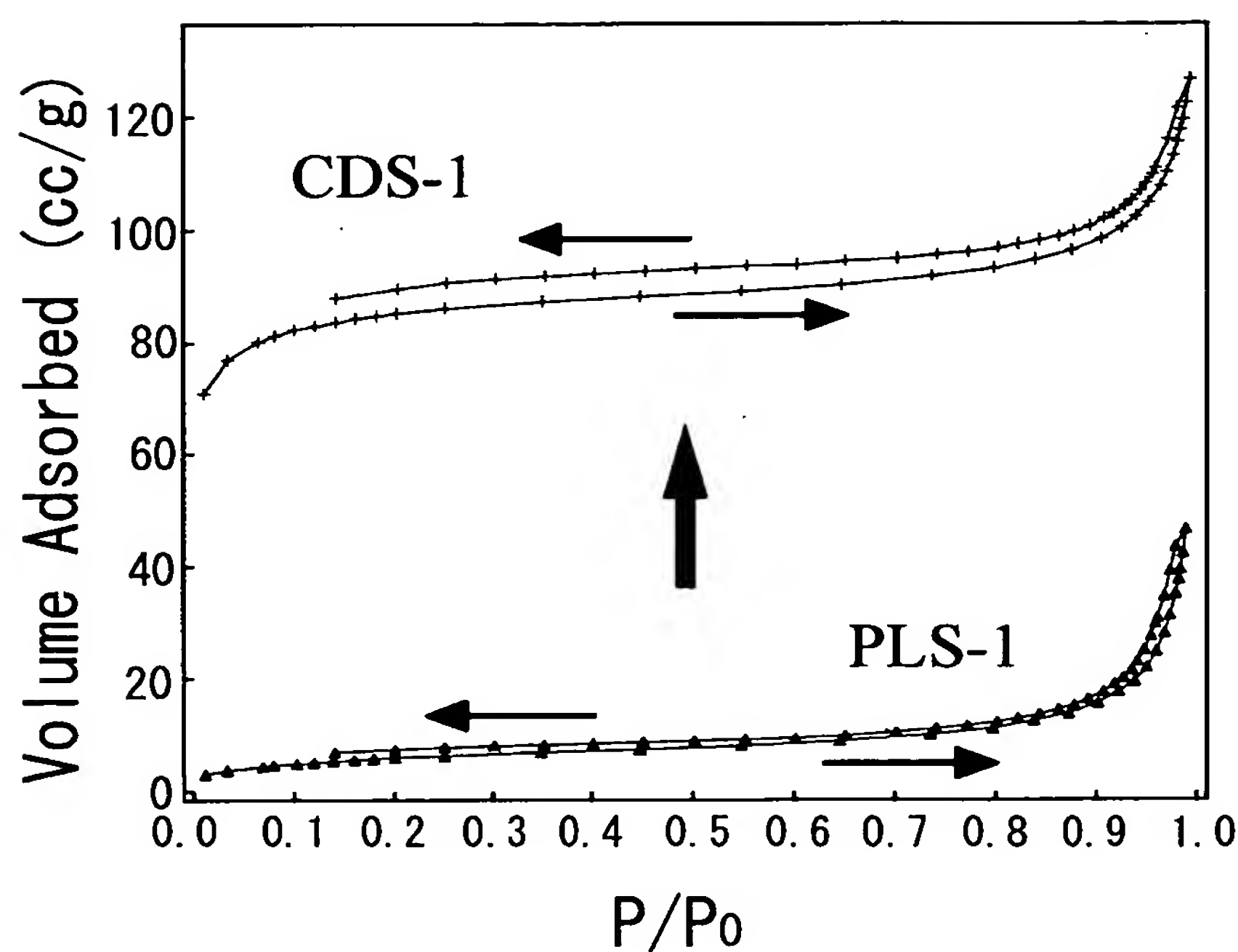


Fig. 7

8 / 1 8

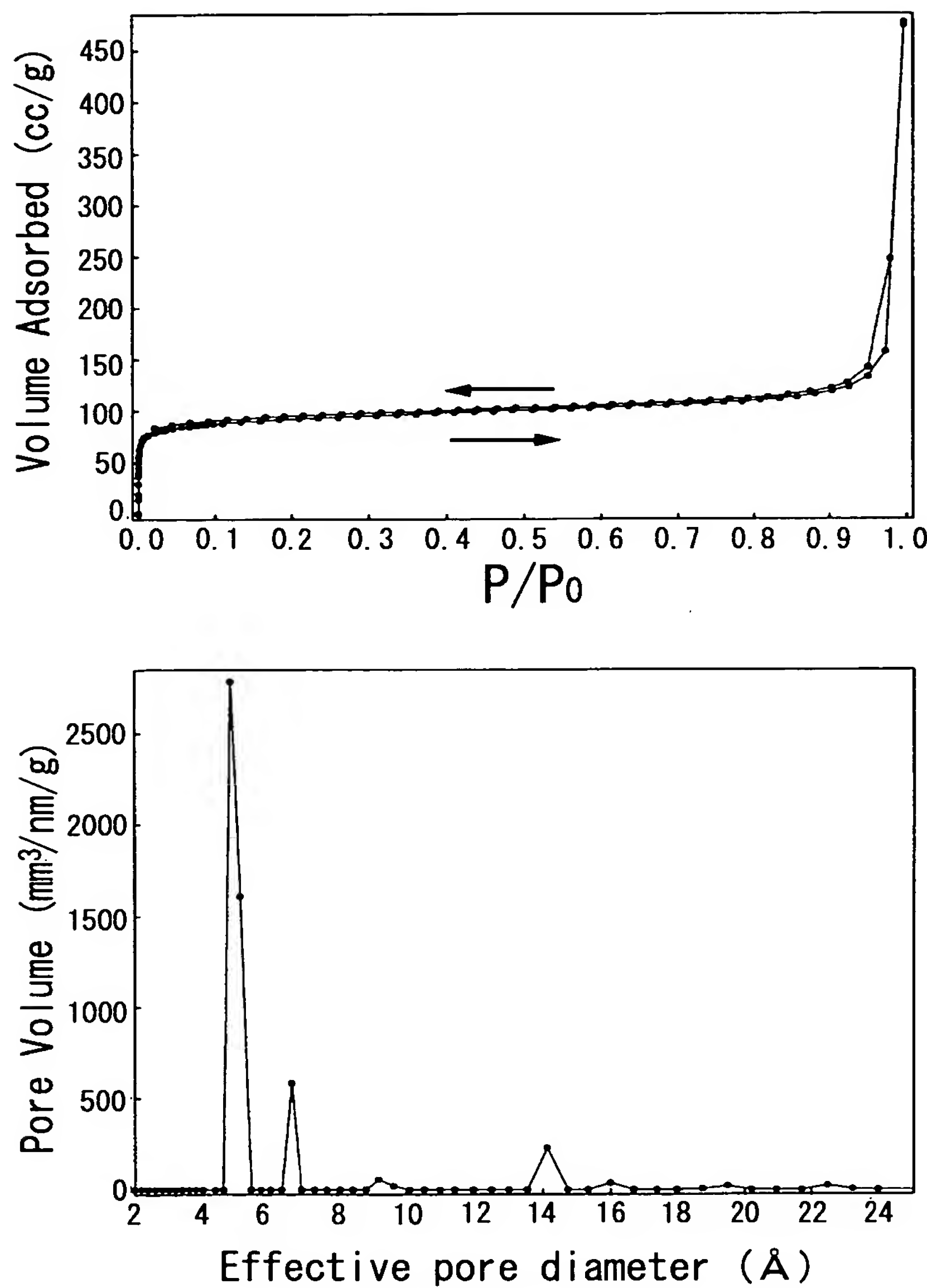
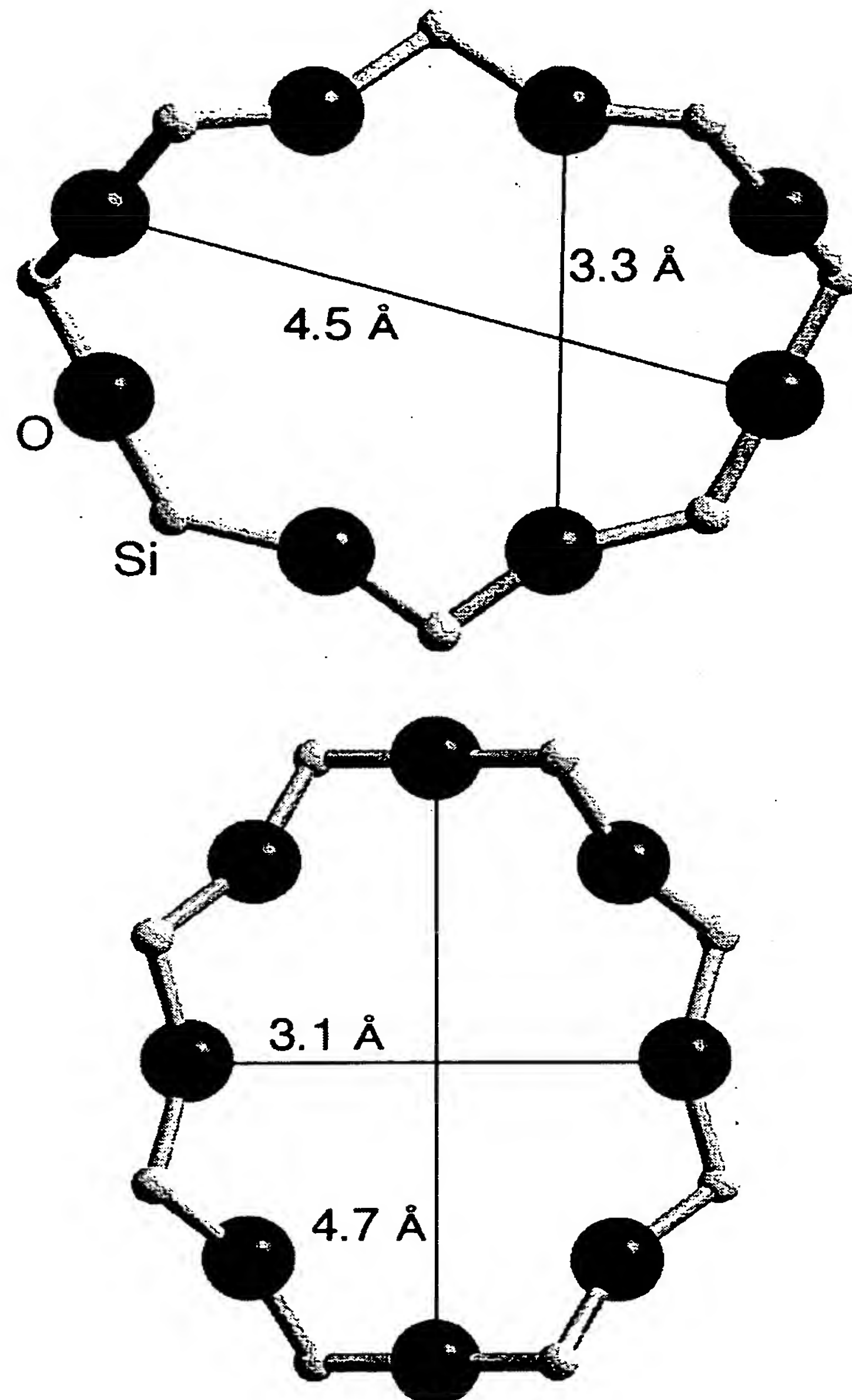


Fig. 8

9 / 1 8



F i g . 9

10 / 18

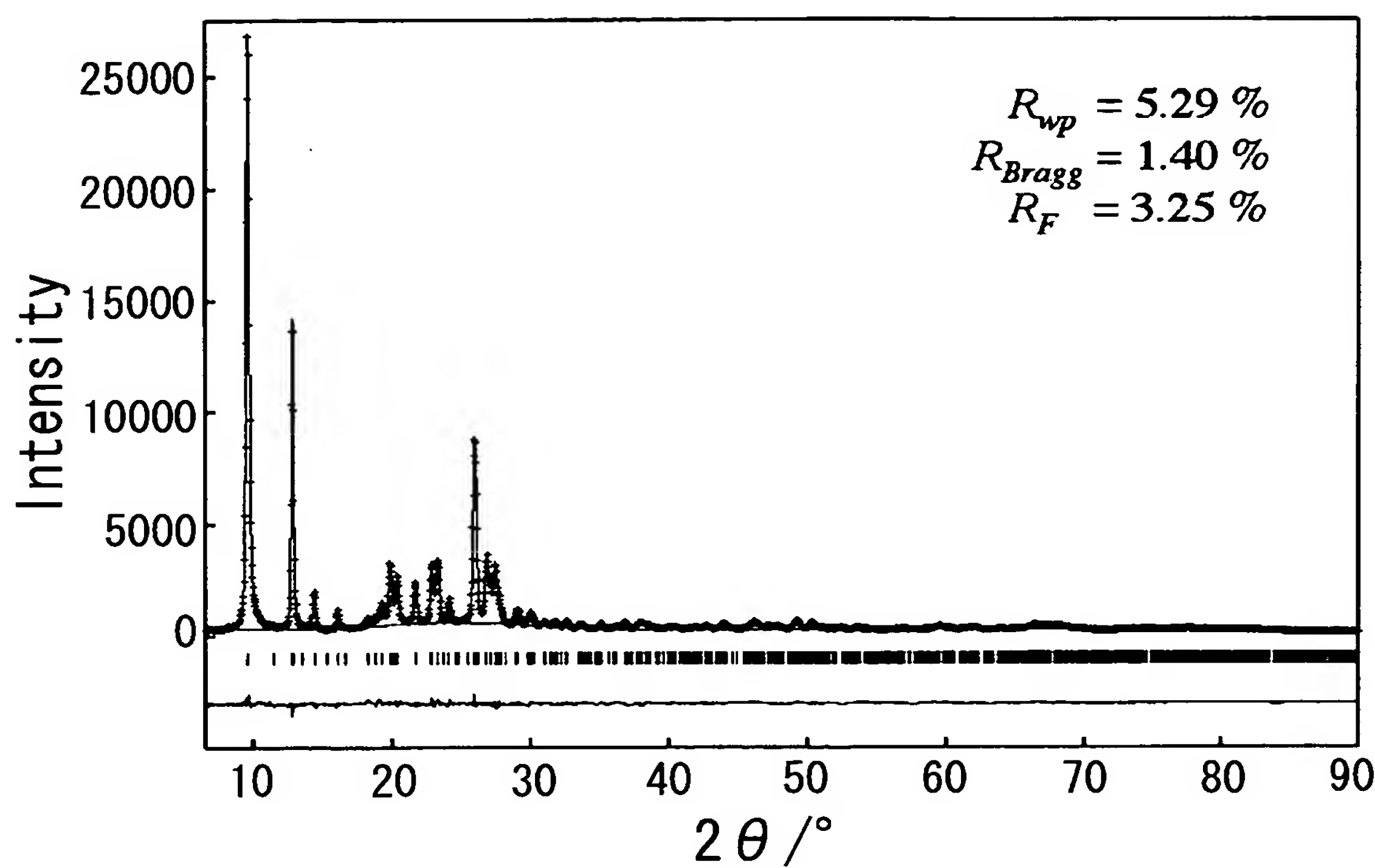
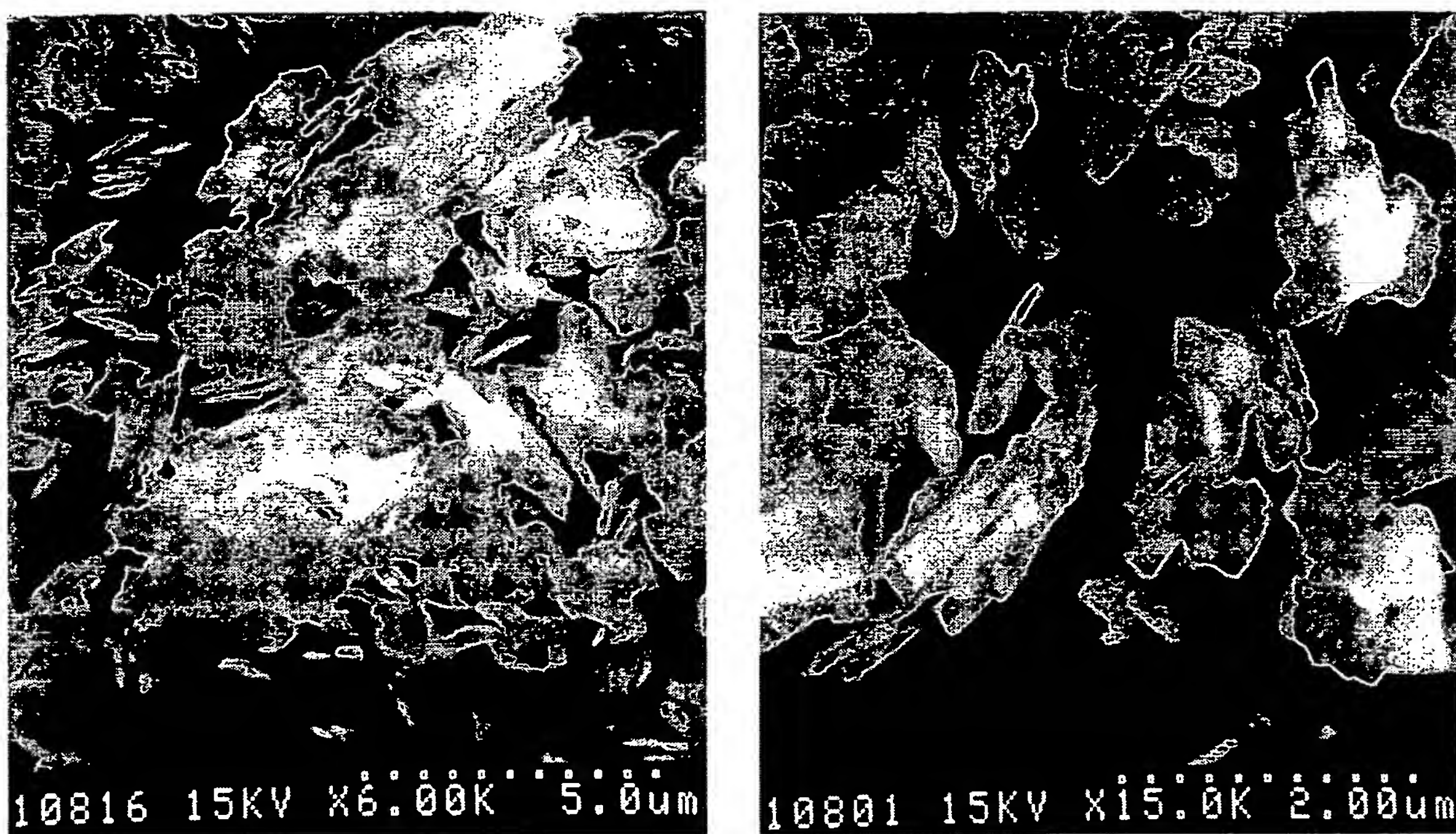


Fig. 10

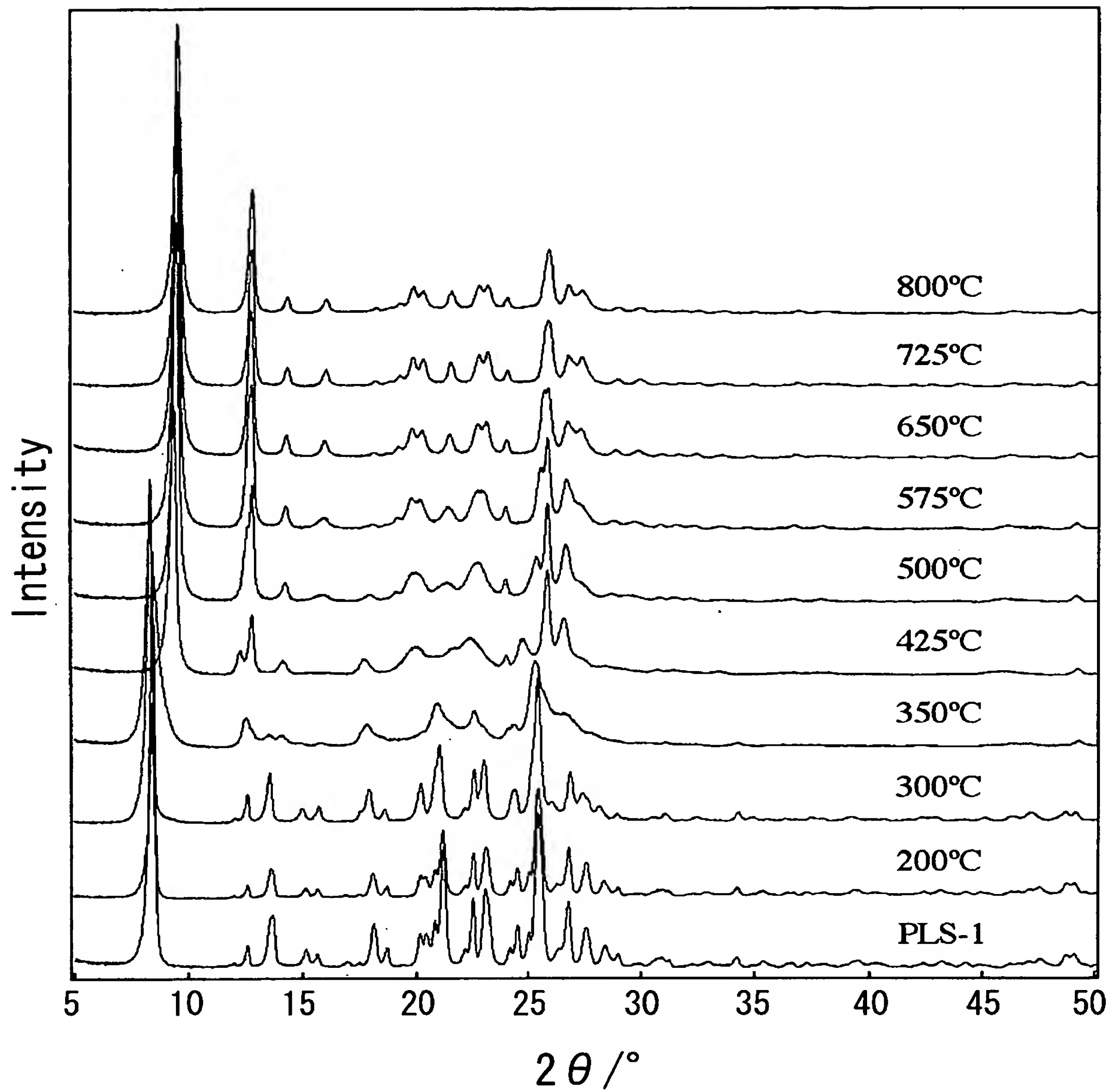
Oblon, Spivak, et al.  
703-413-3000  
Docket # 29116SUSOPCT  
Sheet 11 of 18

11 / 18



F i g . 1 1

1 2 / 1 8



F i g . 1 2

13 / 18

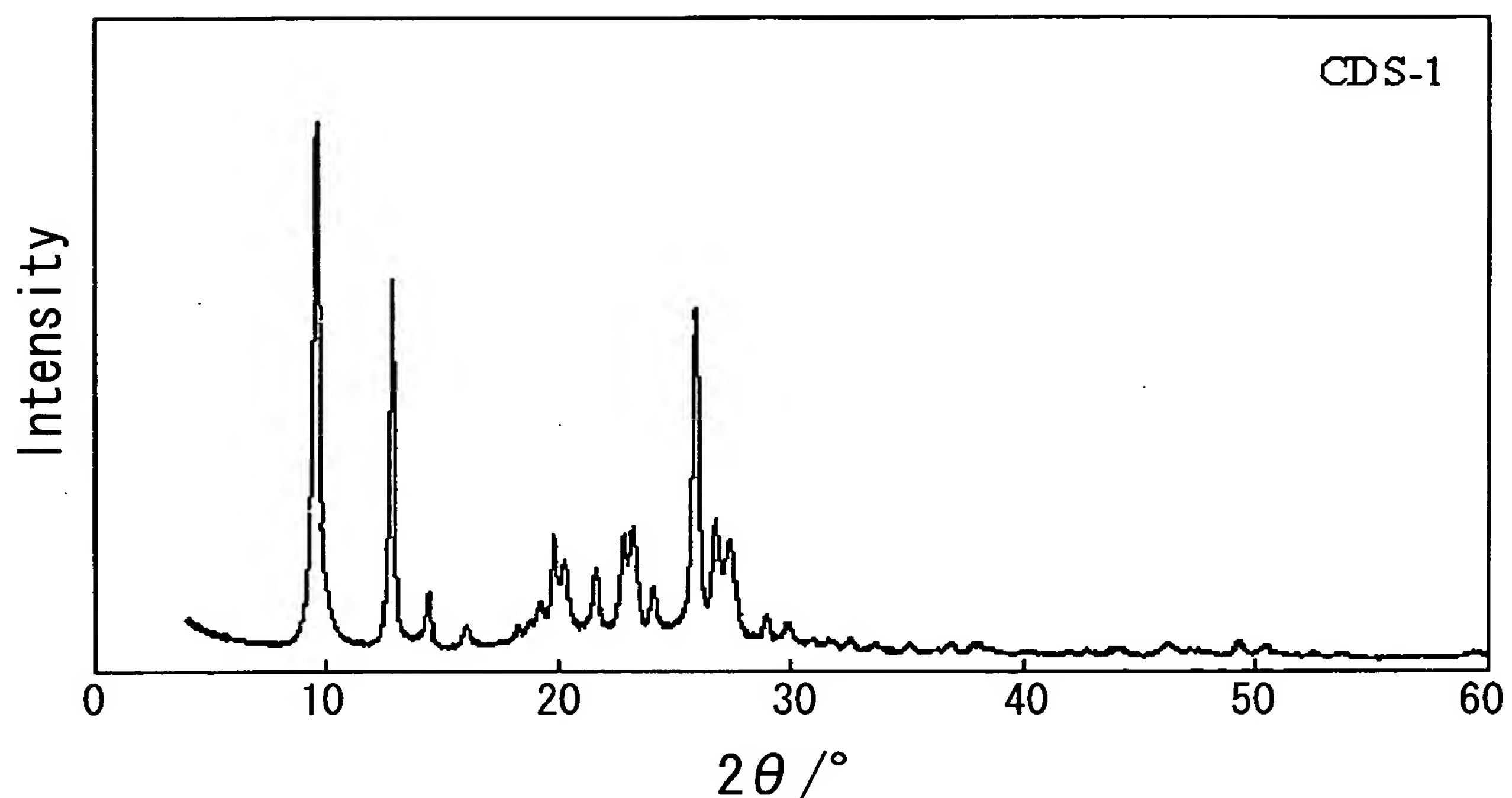
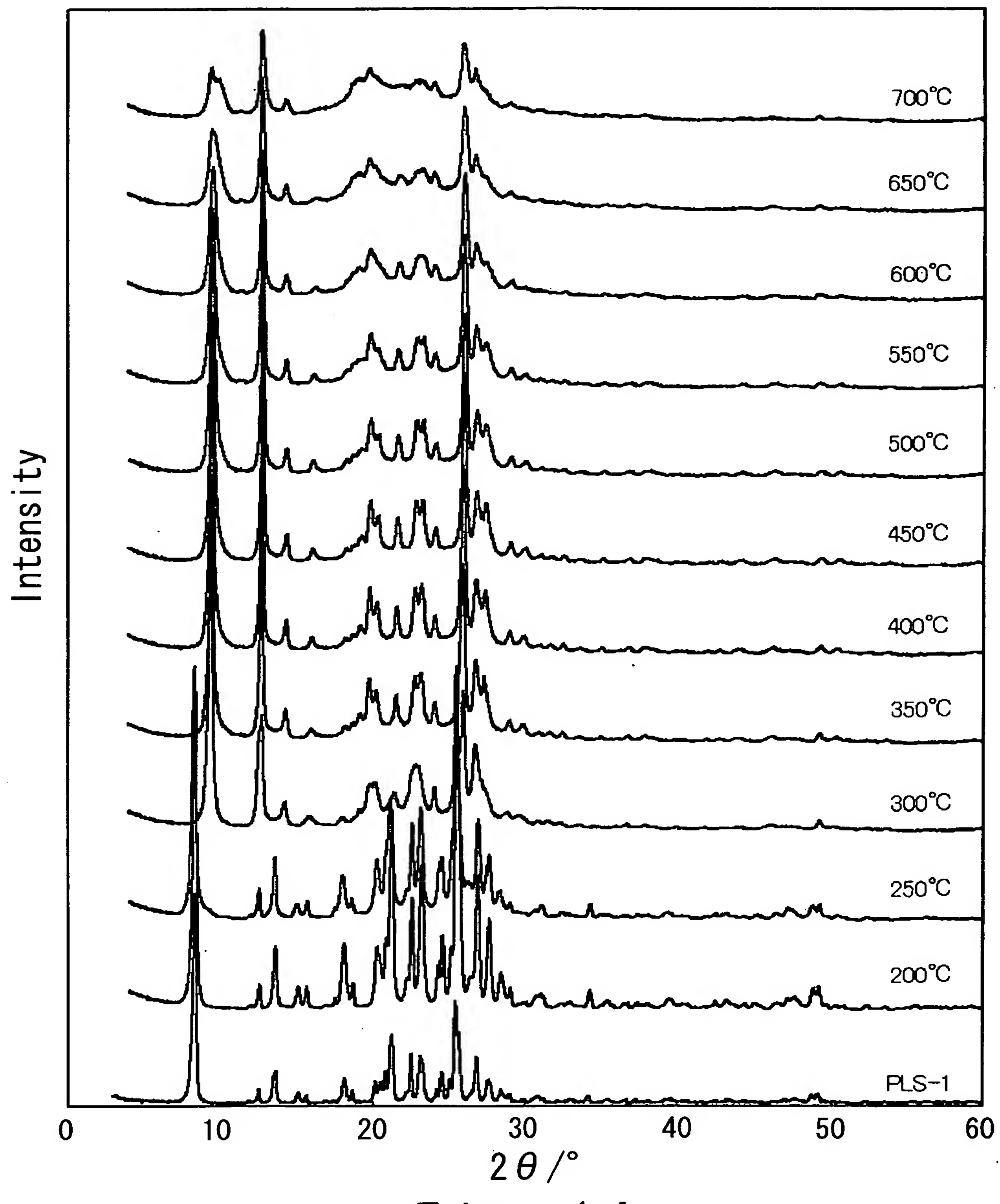


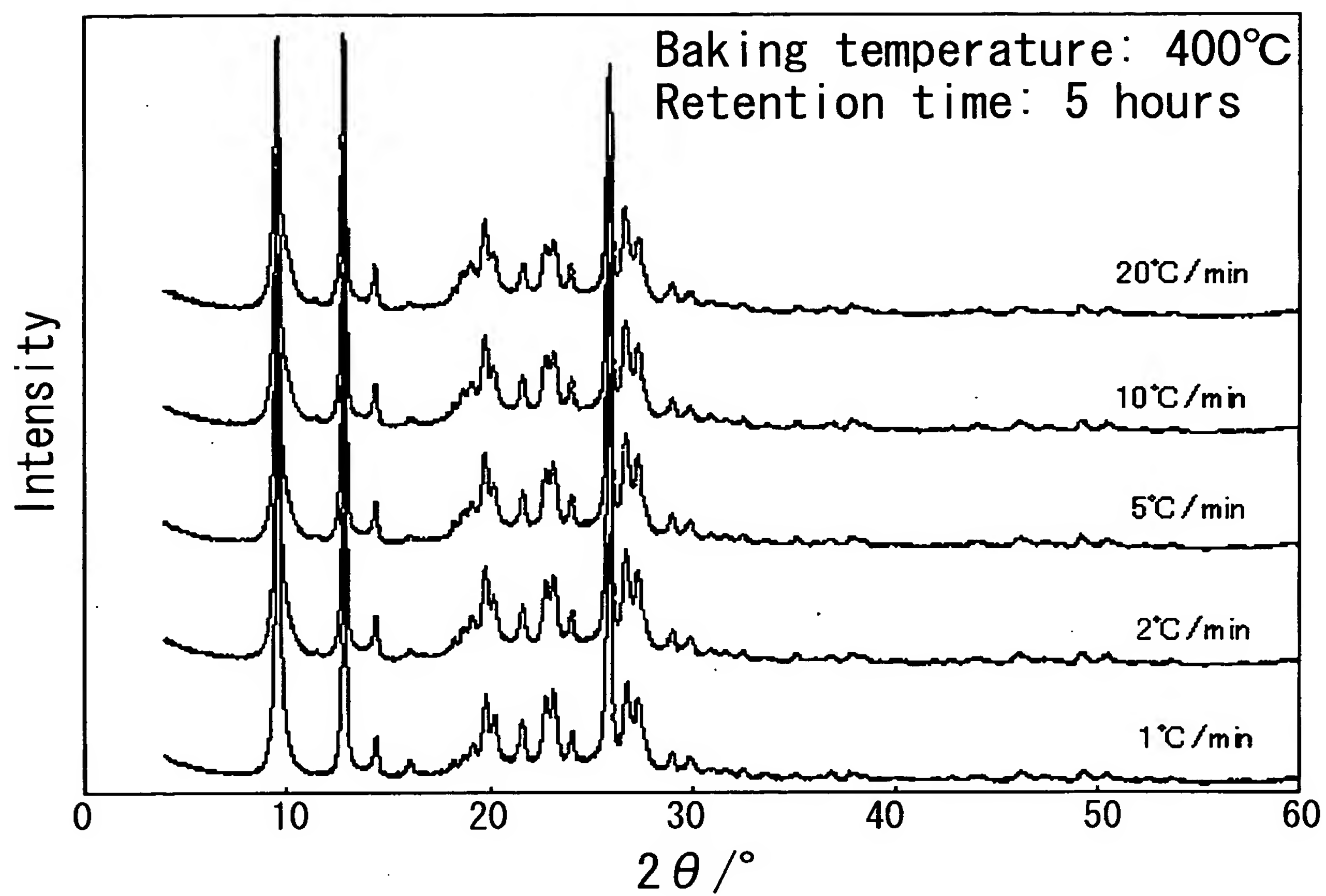
Fig. 13

14 / 18



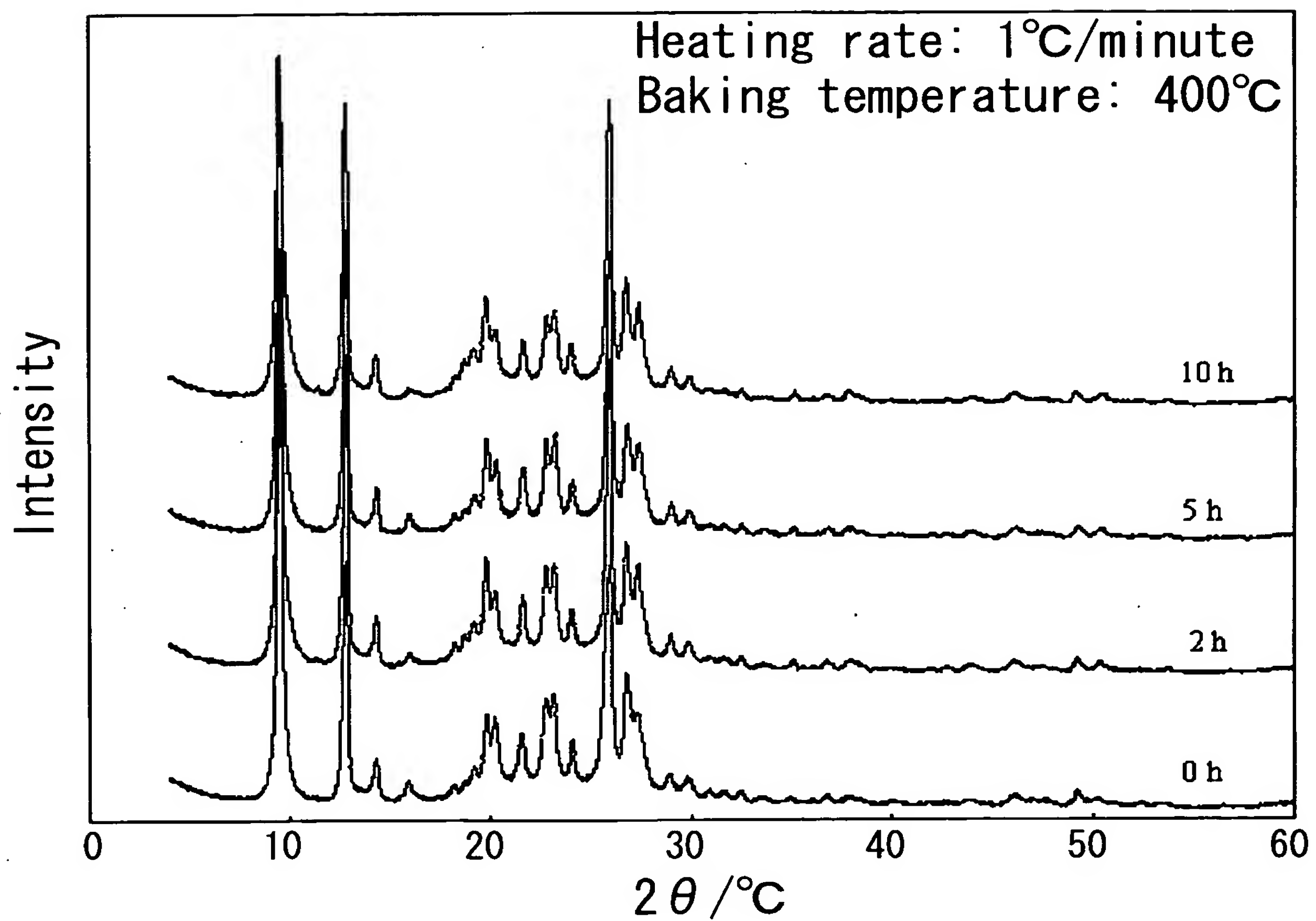
F i g . 1 4

15 / 18



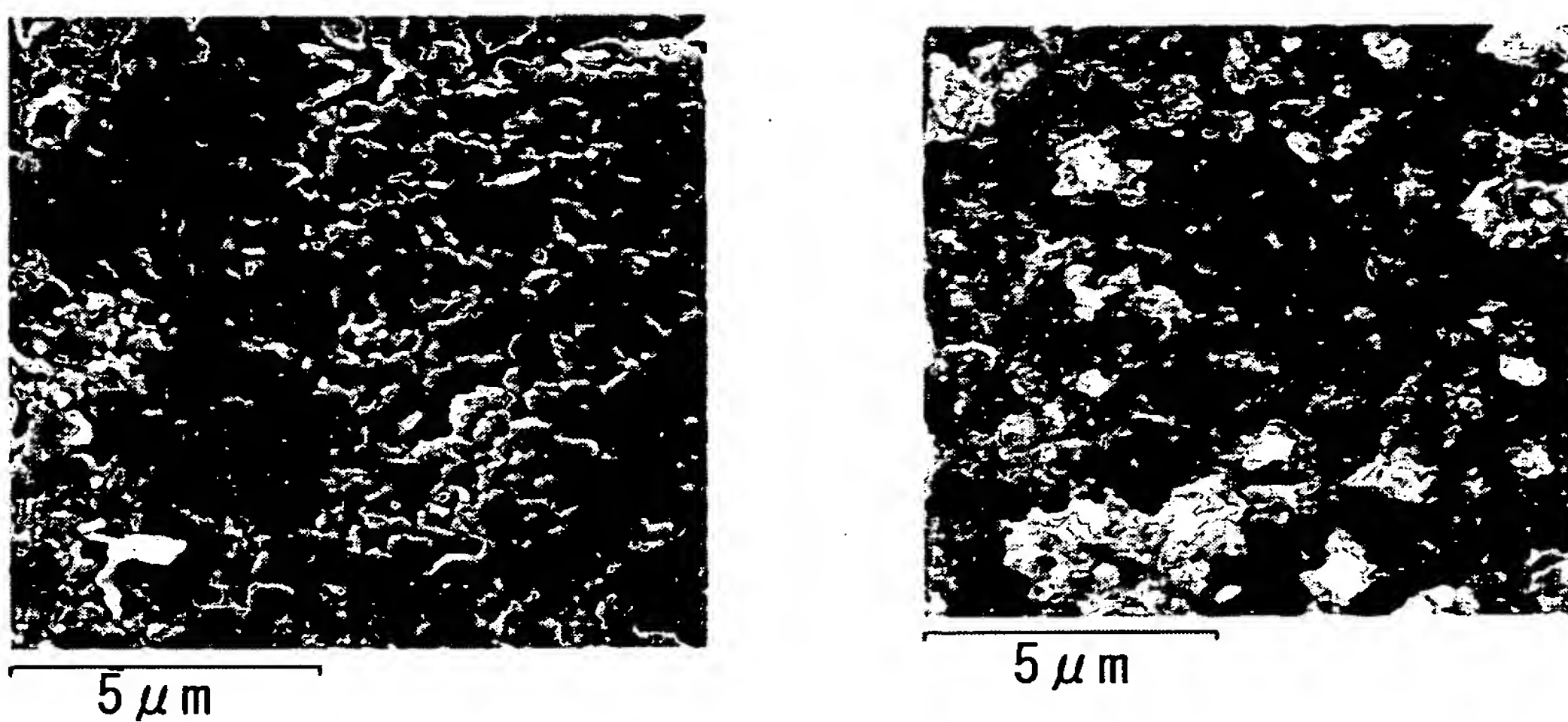
F i g . 1 5

1 6 / 1 8



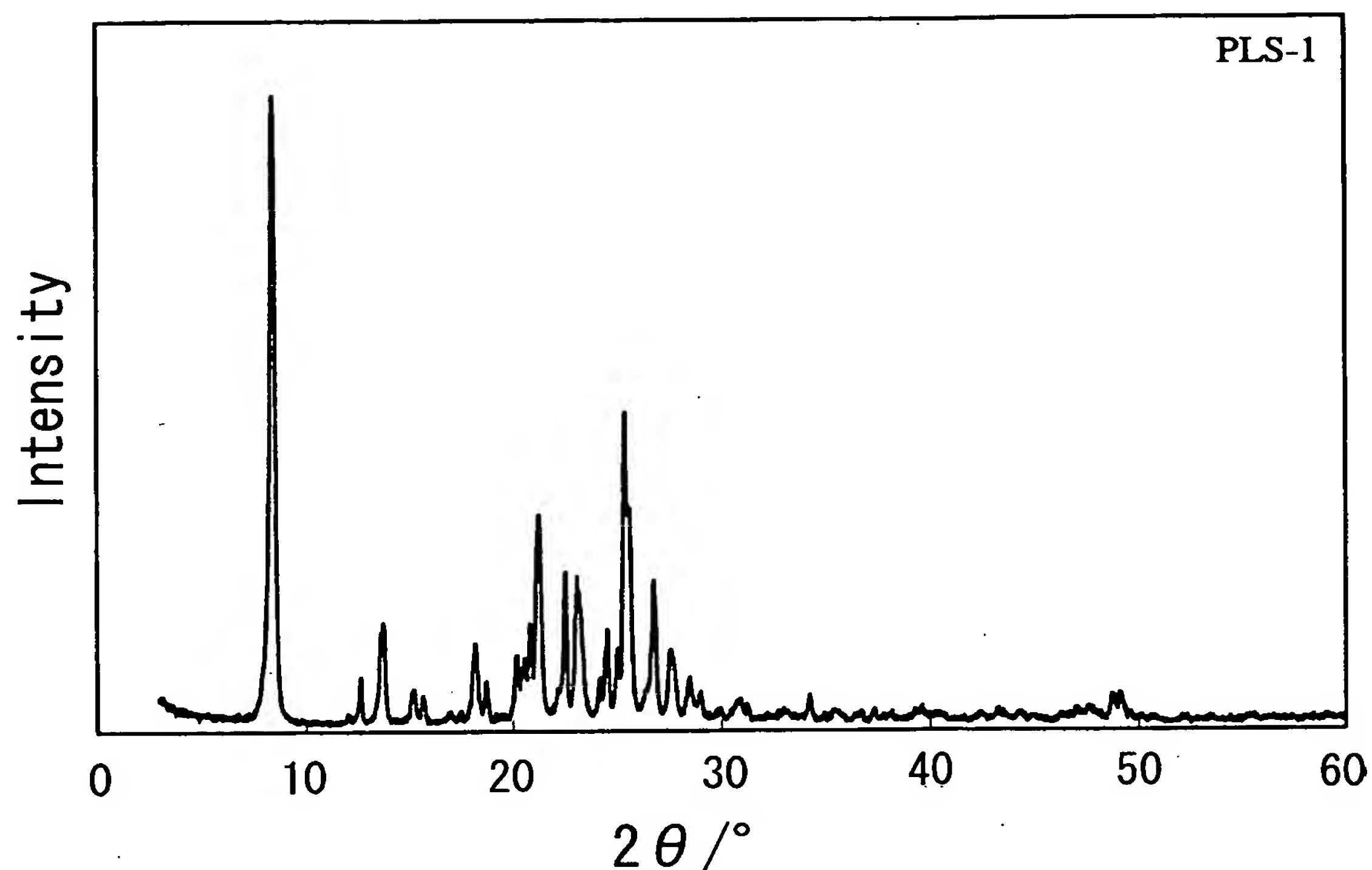
F i g . 1 6

17 / 18



F i g . 1 7

18 / 18



F i g . 1 8